



Homologie pour les familles génératrices et escaliers de gradient

Cyril Falcon

Jeudi 21 novembre 2019, Séminaire Pampers (IRMAR)

LMO (Université Paris-Sud)

Introduction I : contexte

Motivation. Comprendre les déformations (**isotopie**) des *sous-variétés legendriennes* des *variétés de contact*.

Question. Soient (V, ξ) une variété de contact et Λ_0, Λ_1 deux sous-variétés legendriennes de (V, ξ) , existe-t-il un chemin lisse $(\Lambda_t)_{t \in [0,1]}$ de sous-variétés legendriennes de (V, ξ) ?

\rightsquigarrow généralisation et raffinement de la **théorie des nœuds**.

Approche. Construction d'invariants par isotopie legendrienne :

$$\text{Inv}(\Lambda_0) \neq \text{Inv}(\Lambda_1) \implies \Lambda_0 \not\sim \Lambda_1,$$

et étude de la réciproque (**invariant complet?**).

Introduction II : homologie pour les familles génératrices

Dans cet exposé :

- $(V, \xi) = (\mathbf{R}^{2n+1}, \xi_{\text{std}})$, **modèle local** des variétés de contact,
- Λ est décrite par une **famille génératrice** $(f_x: \mathbf{R}^N \rightarrow \mathbf{R})_{x \in \mathbf{R}^n}$.

\rightsquigarrow Construction de $\delta: \mathbf{R}^n \times \mathbf{R}^N \times \mathbf{R}^N \rightarrow \mathbf{R}$ dont les points critiques « encodent » de la topologie de contact de Λ .

Idée. Théorie de Morse de $\delta \rightsquigarrow$ modules d'homologie $\text{HFG}_\bullet(\delta)$.

\rightsquigarrow Invariant de Λ : $\text{Inv}(\Lambda) = \{\text{HFG}_\bullet(\delta); \delta\}$.

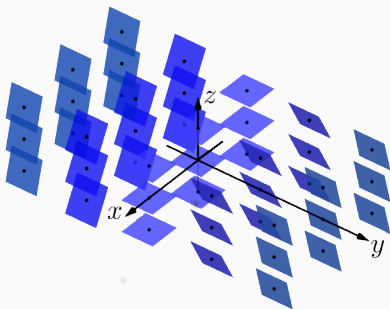
Objectifs.

- Développer une **méthode de calcul** pour $\text{HFG}_\bullet(\delta)$,
- Faire la **géographie** de $\text{HFG}_\bullet(\delta)$,
- **Relier** $\text{HFG}_\bullet(\delta)$ à d'autres invariants legendriens.

Topologie de contact

La structure de contact standard

Soient $\alpha = dz - \sum_{i=1}^n y_i dx_i$ sur $\mathbf{R}^n_x \times \mathbf{R}^n_y \times \mathbf{R}_z$ et $\xi = \ker(\alpha)$, ce sont la *forme* et la *structure de contact standard* sur \mathbf{R}^{2n+1} .



Observation. Le champ de vecteurs ∂_z engendre $\ker(d\alpha)$ et satisfait $\alpha(\partial_z) = 1$, c'est le **champ de Reeb** de α .

Les sous-variétés legendriennes I

Proposition

Si L est partout tangente à la distribution de contact ξ , c'est-à-dire $TL \subset \xi$, ou encore $\alpha|_L \equiv 0$, alors $\dim(L) \leq n$.

La distribution de contact ξ **minimise**, parmi tous les champs d'hyperplans tangents à \mathbf{R}^{2n+1} , la dimension des sous-variétés qui lui sont partout tangentes.

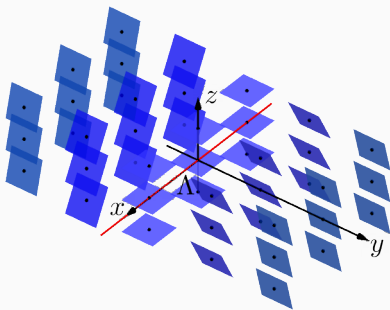
Définition

Une sous-variété Λ de \mathbf{R}^{2n+1} est *legendrienne* si Λ est partout tangente à ξ et $\dim(\Lambda) = n$.

Les sous-variétés legendriennes de \mathbf{R}^{2n+1} **maximisent** la dimension des sous-variétés de \mathbf{R}^{2n+1} partout tangentes à ξ .

Les sous-variétés legendriennes II

Pour tout n , $\{y = z = 0\}$ est une sous-variété legendrienne :



Soit désormais Λ une sous-variété legendrienne de \mathbb{R}^{2n+1} .

Définition

Une *corde de Reeb* de Λ est une trajectoire non constante du champ de Reeb, à savoir ∂_z , qui débute et termine sur Λ .

La projection frontale

Problème. Comment représenter Λ de dimension n en dimension ambiante $2n + 1$ (grande codimension)?

Solution. *Projection frontale* : $\mathbf{R}^n_x \times \mathbf{R}^n_y \times \mathbf{R}_z \rightarrow \mathbf{R}^n_x \times \mathbf{R}_z$.

Proposition

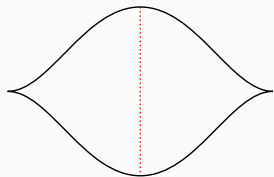
Les singularités du front de Λ forment *génériquement* une sous-variété *stratifiée* de codimension 1, mais l'espace tangent au front est défini partout et n'est jamais vertical, de sorte que

$$y_i = \frac{\partial z}{\partial x_i}.$$

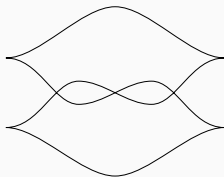
Réciproquement, une partie de \mathbf{R}^{n+1} qui satisfait ces propriétés est le front d'une unique sous-variété legendrienne de \mathbf{R}^{2n+1} .

Des exemples de fronts

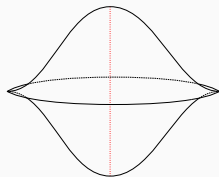
Les sous-variétés legendriennes sont régulières, mais leurs fronts peuvent être singuliers :



Nœud trivial



Nœud de trèfle



Sphère triviale de \mathbb{R}^5

Les cordes de Reeb correspondent aux paires de points verticalement alignés du front en lesquels les espaces tangents au front sont parallèles.

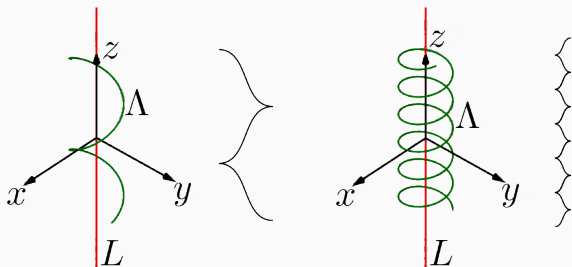
De la rigidité legendrienne I

Toute sous-variété lisse de \mathbf{R}^{2n+1} est isotope à une sous-variété legendrienne \rightsquigarrow elles sont **abondantes**!

Par contre, ces approximations sont multiples :

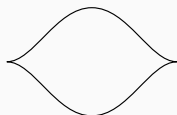
Théorème (folklore)

Soit Λ une sous-variété legendrienne de \mathbf{R}^{2n+1} , la classe d'isotopie lisse de Λ **se scinde** en une infinité de classes d'isotopie legendrienne distinctes.

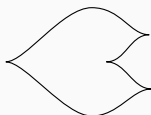


De la rigidité legendrienne II

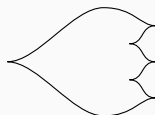
Invariants classiques : (r, tb) (topologie algébrique) permettent d'établir le théorème quand $n = 3$:



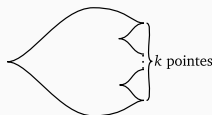
$$(r, \text{tb}) = (0, -1)$$



$$(r, \text{tb}) = (-1, -2)$$



$$(r, \text{tb}) = (-2, -3)$$



$$(r, \text{tb}) = (-k, -k - 1)$$

Les sous-variétés legendriennes sont **petites** ($\text{codim} = n + 1$), mais elles sont **encombrantes** (difficiles à isotoper).

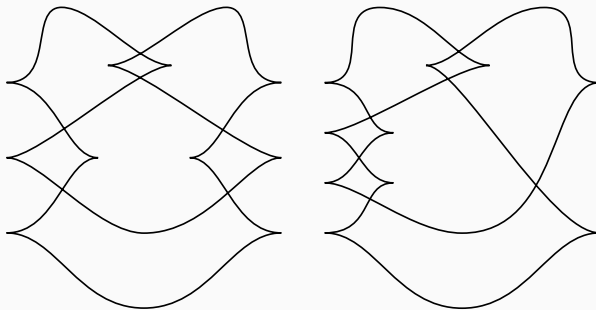
\rightsquigarrow comportement surprenant et riche !

Rigidité : absence d'obstructions topologiques ne garantit pas l'existence d'une isotopie legendrienne.

Les limites des invariants classiques I

Théorème (Tchekanov, 2002)

Les nœuds legendriens de \mathbf{R}^3 qui sont des miroirs de 5_2 (donc isotopes comme nœuds topologiques) suivants :



*ont même (r, tb) , mais ne sont pas **legendriennement isotopes**.*

Les limites des invariants classiques II

La situation est encore pire en grande dimension :

Théorème (Ekholm-Etnyre-Sullivan, 2005)

*Pour tout $n > 1$, il existe une **infinité** de sphères legendriennes de \mathbf{R}^{2n+1} qui ont les mêmes invariants classiques, mais ne sont pas isotopes comme sous-variétés legendriennes.*

Les invariants classiques ne sont pas efficaces.

Objectif. Construire des invariants legendriens qui encodent plus de topologie de contact que les invariants classiques.

Familles génératrices

Les sous-variétés legendriennes graphiques

Observation. Si $f: \mathbf{R}^n \rightarrow \mathbf{R}$ est une fonction lisse, alors

$$\Lambda = \{(x, f'(x), f(x)) \mid x \in \mathbf{R}^n\} \subset \mathbf{R}^{2n+1}$$

est une sous-variété legendrienne, son front est le graphe de f .

Les sous-variétés legendriennes ainsi décrites sont des *sous-variétés legendriennes graphiques*.

La classe des sous-variétés legendriennes graphiques est **trop restreinte** pour être intéressante.

Les familles génératrices

Les familles génératrices offrent une extension naturelle de la classe des sous-variétés legendriennes graphiques.

Définition

Soit $f: \mathbf{R}^n_x \times \mathbf{R}^N_\eta \rightarrow \mathbf{R}$, alors f est une *famille génératrice* si 0 est une valeur régulière de $\partial_\eta f: \mathbf{R}^n \times \mathbf{R}^N \rightarrow (\mathbf{R}^N)^*$.

Observation. Si f est une famille génératrice, alors

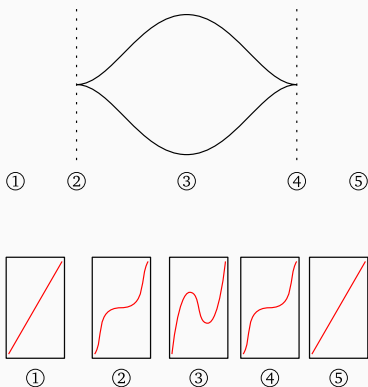
$$\{(x, \partial_x f(x, \eta), f(x, \eta)) \mid (x, \eta) \in \partial_\eta f^{-1}(0) = \Sigma_f\}$$

est une sous-variété legendrienne **immergée** de \mathbf{R}^{2n+1} .

Attention! Une famille génératrice pour Λ n'existe pas toujours.

Deux exemples de familles génératrices

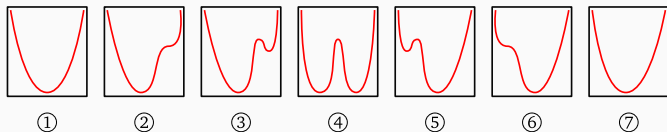
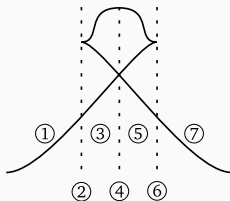
Le front de Λ est obtenu en traçant les valeurs critiques de f_x en fonction de x , c'est le **diagramme de Cerf** de f .



Les **pointes** du front correspondent aux **naissances** et **morts** de points critiques dans la famille $x \mapsto f_x$.

Deux exemples de familles génératrices

Le front de Λ est obtenu en traçant les valeurs critiques de f_x en fonction de x , c'est le **diagramme de Cerf** de f .



Les **croisements** du front correspondent à l'**échange** de deux valeurs critiques dans la famille $x \mapsto f_x$.

Equivalence de familles génératrices

Il existe deux opérations naturelles pour **modifier** une famille génératrice sans changer la sous-variété legendrienne décrite :

- **Difféomorphisme fibré.** Pour Φ un difféomorphisme fibré de $\mathbf{R}^n \times \mathbf{R}^N$ i.e. $\Phi(x, \mathbf{R}^N) = \{x\} \times \mathbf{R}^N$, $x \in \mathbf{R}^n$, soit $f_\Phi = f \circ \Phi$.
- **Stabilisation.** Pour Q une forme quadratique non dégénérée de \mathbf{R}^k , soit $f \oplus Q$ définie par

$$(f \oplus Q)(x, \eta, \eta') = f(x, \eta) + Q(\eta'),$$

pour $(x, \eta, \eta') \in \mathbf{R}^n \times \mathbf{R}^N \times \mathbf{R}^k$.

Si deux familles génératrices sont égales à des suites finies de difféomorphismes fibrés et de stabilisations près appliquées à l'une et à l'autre, alors elles sont *équivalentes*.

Persistence des familles génératrices

Ces opérations sont cruciales dans le résultat suivant :

Théorème (Tchekanov, 1996)

*L'existence d'une famille génératrice **persiste** aux isotopies legendriennes et sa classe d'équivalence est **préservée**.*

Principe général. Chaque invariant des familles génératrices permet de construire un invariant des sous-variétés legendriennes sous-jacentes.

Il suffit de prendre l'union sur toutes les classes d'équivalence de familles génératrices, ce qui reste **difficile en pratique**.

Exemple

Le nombre de classes d'équivalence de familles génératrices est un invariant legendrien.

La fonction différence

Définition

Soient $f_1, f_2: \mathbf{R}^n \times \mathbf{R}^N \rightarrow \mathbf{R}$ deux familles génératrices de Λ , alors leur *fonction différence* $\delta: \mathbf{R}^n \times \mathbf{R}^N \times \mathbf{R}^N \rightarrow \mathbf{R}$ est définie par :

$$\delta(x, \eta^1, \eta^2) = f_1(x, \eta^1) - f_2(x, \eta^2).$$

Observation. En restriction à $S = \Sigma_{f_1} \times_{\mathbf{R}^n} \Sigma_{f_2}$, δ mesure la longueur verticale entre deux *branches* du front de Λ .

Proposition

Les points critiques de valeurs critiques strictement positives de δ sont en bijection avec les cordes de Reeb de Λ .

C'est un appel à la **théorie de Morse**!

Interlude : théorie de Morse I

Soient M une variété et $f: M \rightarrow \mathbf{R}$ une fonction.

Définition

La fonction f est dite *de Morse* si pour tout point critique p , il existe des coordonnées locales (x_1, \dots, x_n) en p telles que :

$$f(x_1, \dots, x_n) = f(p) - x_1^2 - \dots - x_k^2 + x_{k+1}^2 + \dots + x_n^2,$$

l'entier k est l'*indice* de p noté $\text{ind}_f(p)$, il s'agit du « nombre de directions issues de p le long desquelles f décroît ».

Exemples.

- $M = \mathbf{R}^2$, $f(x, y) = x^2 + y^2$, $\mathbf{0}$ est un **minimum** (indice 0),
- $M = \mathbf{R}^2$, $f(x, y) = x^2 - y^2$, $\mathbf{0}$ est un **col** (indice 1),
- $M = \mathbf{R}^2$, $f(x, y) = -x^2 - y^2$, $\mathbf{0}$ est un **maximum** (indice 2).

Interlude : théorie de Morse II

Soit C_\bullet l'espace vectoriel engendré sur $\mathbf{Z}/2$ par les points critiques de f et gradué par l'indice de Morse.

Soient g une métrique riemannienne sur M et

$$\mathcal{M}(q, p; g) = \left\{ \gamma \mid \dot{\gamma} = -\nabla^g f \circ \gamma, \lim_{t \rightarrow -\infty} \gamma(t) = q, \lim_{t \rightarrow +\infty} \gamma(t) = p \right\},$$

il s'agit **génériquement** d'une variété, $\dim = \text{ind}_f(q) - \text{ind}_f(p)$ et son quotient par l'action par translations de \mathbf{R} est compactifié par l'ajout de trajectoires brisées.

Soit $\partial: C_\bullet \rightarrow C_{\bullet-1}$ définie par :

$$\partial q = \sum_{p \in C_{|q|-1}} \#_{\mathbf{Z}/2}(\mathcal{M}(q, p)/\mathbf{R}) p.$$

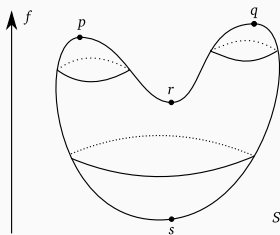
Théorème (Smale-Thom-Witten)

On a $\partial^2 = 0$ et $H_\bullet(M) = \ker(\partial)/\text{im}(\partial)$ est un invariant de M .

Interlude : théorie de Morse III

Exemple

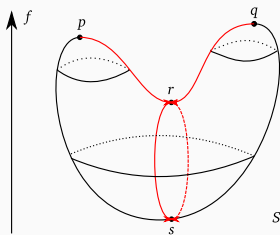
Soient S la surface définie ci-dessous, $f: S \rightarrow \mathbf{R}$ la hauteur de S et g la restriction à S de la métrique euclidienne de \mathbf{R}^3 .



Interlude : théorie de Morse III

Exemple

Soient S la surface définie ci-dessous, $f: S \rightarrow \mathbf{R}$ la hauteur de S et g la restriction à S de la métrique euclidienne de \mathbf{R}^3 .



Ici, $C_\bullet = \langle p, q \rangle[2] \oplus \langle r \rangle[1] \oplus \langle s \rangle[0]$ et ∂ est donnée par :

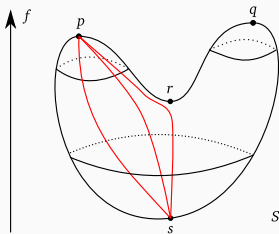
$$\partial p = r = \partial q, \partial r = s + s = 0.$$

Finalement, $H_\bullet(S) = (\mathbf{Z}/2)[2] \oplus (\mathbf{Z}/2)[0]$, c'est l'homologie de S^2 .

Interlude : théorie de Morse III

Exemple

Soient S la surface définie ci-dessous, $f: S \rightarrow \mathbf{R}$ la hauteur de S et g la restriction à S de la métrique euclidienne de \mathbf{R}^3 .



Ici, $C_\bullet = \langle p, q \rangle[2] \oplus \langle r \rangle[1] \oplus \langle s \rangle[0]$ et ∂ est donnée par :

$$\partial p = r = \partial q, \partial r = s + s = 0.$$

Finalement, $H_\bullet(S) = (\mathbf{Z}/2)[2] \oplus (\mathbf{Z}/2)[0]$, c'est l'homologie de S^2 .

Homologie pour les familles génératrices

L'homologie de (f_1, f_2) est définie comme une homologie de Morse relative de sous-niveaux de δ :

$$\text{HFG}_\bullet(f_1, f_2) = H_{\bullet+N+1}(\delta < \omega, \delta < \varepsilon; \mathbf{Z}/2),$$

où $\omega > \varepsilon > 0$ sont tels que les valeurs critiques strictement positives de δ sont contenues dans $[\varepsilon, \omega]$ (Traynor, 2001).

Observation. Graduation \implies invariance par stabilisation.

\rightsquigarrow Si $\text{HFG}_\bullet(f_1, f_2) \not\cong \text{HFG}_\bullet(f_3, f_4)$, alors $f_1 \not\sim f_3$ ou $f_2 \not\sim f_4$.

Cet invariant permet de distinguer les nœuds de Tchekanov (Fuchs-Rutherford, 2011).

Structure et géographie de HFG. (f_1, f_2) quand $f_1 \sim f_2$

Le *polynôme de Poincaré* de (f_1, f_2) est défini par :

$$\Gamma_{f_1, f_2}(t) = \sum_{k \in \mathbf{Z}} \dim \text{HFG}_k(f_1, f_2) t^k \in \mathbf{N}[t, t^{-1}].$$

Les trajectoires de $-\nabla\delta$ sont **difficilement identifiables**, mais :

Théorème (Bourgeois-Sabloff-Traynor, 2015)

Si $f_1 \sim f_2$, alors il existe $q(t), p(t) \in \mathbf{N}[t]$ tels que :

$$\Gamma_{f_1, f_2}(t) = q(t) + p(t) + t^{n-1} p(t^{-1}), \quad (\star)$$

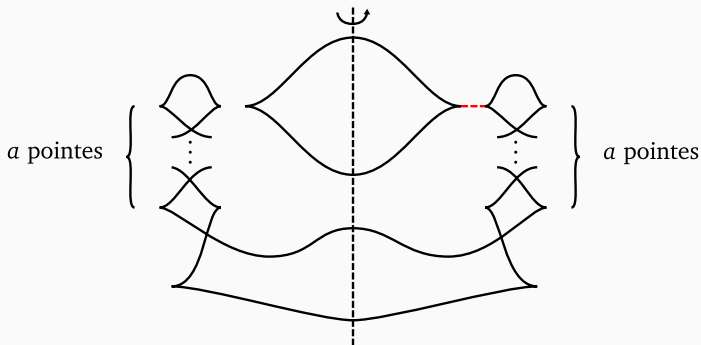
avec q de degré n qui satisfait $q_k + q_{n-k} = \dim H_k(\Lambda)$.

Si P satisfait (\star) , alors il existe f telle que $P(t) = \Gamma_{f, f}(t)$.

Ce résultat **facilite le calcul** de $\Gamma_{f, f}(t)$.

Un exemple de calcul I

Soit $a \in \mathbf{N}^*$ et considérons la sphère legendrienne Λ_a suivante :

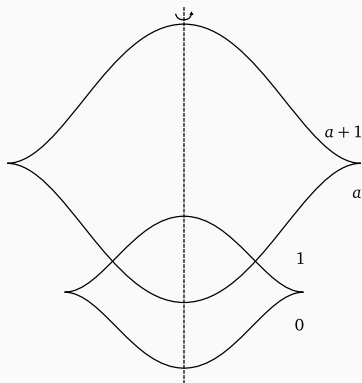


C'est une généralisation topologique du nœud de trèfle.

Objectif. Construire une famille génératrice f_a de Λ_a et calculer son homologie $\text{HFG}_\bullet(f_a, f_a)$.

Un exemple de calcul II

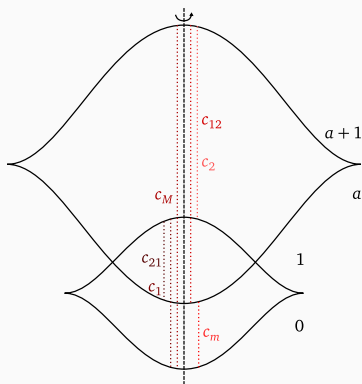
La sphère Λ_a est obtenue par isotopie legendrienne et somme connexe sur l'entrelacs de Hopf H_a suivant :



Une famille génératrice h_a de H_a s'obtient en « juxtaposant » des familles génératrices stabilisées de la sphère triviale.

Un exemple de calcul II

La sphère Λ_a est obtenue par isotopie legendrienne et somme connexe sur l'entrelacs de Hopf H_a suivant :



Une famille génératrice h_a de H_a s'obtient en « juxtaposant » des familles génératrices stabilisées de la sphère triviale.

Un exemple de calcul III

Les points critiques de la fonction différence de h_a , listé par valeurs critiques décroissantes, satisfont :

p	c_M	c_2	c_{12}	c_1	c_{21}	c_m
$ p $	$n+a$	n	$n+a-1$	n	$n-a$	$a-1$

Si $n \geq 2$, $a \notin \{1, 2, n\}$ et $a \neq n-a$, alors c_1, c_2, c_{21} et c_m déterminent des classes en homologie et :

$$\Gamma_{h_a, h_a}(t) = 2t^n + t^{a-1} + t^{n-a} + \alpha t^{n+a} + \beta t^{n+a-1}.$$

\rightsquigarrow A-t'on $\partial c_M = c_{12}$? Avec $(\star) : \Gamma_{h_a, h_a}(t) = 2t^n + t^{a-1} + t^{n-a}$.

Un exemple de calcul III

Les points critiques de la fonction différence de h_a , listé par valeurs critiques décroissantes, satisfont :

p	c_M	c_2	c_{12}	c_1	c_{21}	c_m
$ p $	$n+a$	n	$n+a-1$	n	$n-a$	$a-1$

Si $n \geq 2$, $a \notin \{1, 2, n\}$ et $a \neq n-a$, alors c_1, c_2, c_{21} et c_m déterminent des classes en homologie et :

$$\Gamma_{h_a, h_a}(t) = 2t^n + t^{a-1} + t^{n-a} + \alpha t^{n+a} + \beta t^{n+a-1}.$$

\rightsquigarrow A-t'on $\partial c_M = c_{12}$? Avec $(\star) : \Gamma_{h_a, h_a}(t) = 2t^n + t^{a-1} + t^{n-a}$.

Or, comme Λ_a est obtenue par somme connexe sur H_a , il vient :

$$\Gamma_{f_a, f_a}(t) = \Gamma_{h_a, h_a}(t) - t^n,$$

donc $\Gamma_{f_a, f_a}(t) = t^n + t^{a-1} + t^{n-a}$.

Un invariant complet ?

Observation. Toutes les familles génératrices f de Λ_a ont la même homologie *simple* $\text{HFG}_\bullet(f, f)$.

Question. Sont-elles toutes équivalentes ?

Non ! Certaines sont distinguées par la version *mixte* de HFG.

Conjecture (Bourgeois)

L'homologie HFG_\bullet est un invariant complet pour les classes d'équivalence de familles génératrices.

Problème. Si $f_1 \not\sim f_2$, il n'y a plus de (vraies) contraintes structurales sur $\Gamma_{f_1, f_2}(t)$, **comment faire les calculs ?**

Escaliers de gradient

Les escaliers de gradient I

Problème. Les trajectoires de $-\nabla\delta$ ne s'interprètent pas géométriquement avec la sous-variété legendrienne Λ puisqu'elles sont à valeurs dans $\mathbf{R}^n \times \mathbf{R}^N \times \mathbf{R}^N$.

Idée. Déformer g pour que les trajectoires de $-\nabla^g\delta$ soient plus géométriques et donc plus facilement identifiables.

\rightsquigarrow écraser les trajectoires de $-\nabla^g\delta$ sur $S = \Sigma_{f_1} \times_M \Sigma_{f_2}$.

Stratégie. Pour $s \in]0, 1]$, g_n une métrique riemannienne sur \mathbf{R}^n et g_N une métrique riemannienne sur \mathbf{R}^N , introduire

$$g_s = (s^{-1}g_n) \oplus g_N \oplus g_N,$$

et comprendre le comportement quand $s \rightarrow 0$ de $\mathcal{M}(q, p; g_s)$, où q et p sont deux points critiques de δ avec $|q| = |p| + 1$.

Les escaliers de gradient II

Observation. Soit $m \in \mathbf{R}^n \times \mathbf{R}^N \times \mathbf{R}^N$:

- si $m \notin S$, alors $\lim_{s \rightarrow 0} -\nabla^{g_s} \delta(m)$ est dirigé selon \mathbf{R}^{2N} ,
 \rightsquigarrow **Fragment vertical.**
- si $m \in S$, alors $\lim_{s \rightarrow 0} -s^{-1} \nabla^{g_s} \delta(m)$ est tangent à S en m .
 \rightsquigarrow **Fragment horizontal.**

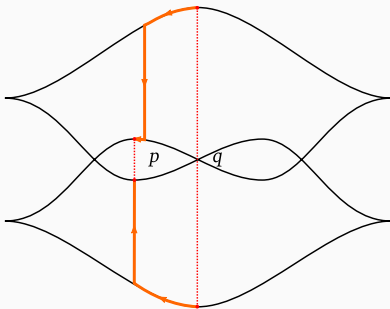
Un candidat pour décrire le comportement quand $s \rightarrow 0$ des trajectoires de $-\nabla^{g_s} \delta$ est donc le suivant :

Définition (F.)

Un *escalier de gradient* est une concaténation de trajectoires de gradient consécutives qui alternent entre *fragments horizontaux* et *fragments verticaux*.

Les escaliers de gradient III

Un exemple d'escalier sur le nœud de trèfle standard de \mathbf{R}^3 :



L'ensemble des escaliers de q à p est noté $\mathcal{M}^{\text{esc}}(q, p)$.

La conjecture des escaliers

Conjecture (Henry-Rutherford, 2013 et Bourgeois-F.)

Si q et p deux points critiques de δ avec $|q| = |p| + 1$, alors génériquement, il existe un $s_0 > 0$ tel que pour tout $0 < s \leq s_0$, il y ait une bijection $\mathcal{M}(q, p; g_s)/\mathbf{R} \cong \mathcal{M}^{\text{esc}}(q, p)$.

Conséquence. $\text{HFG}_\bullet(f_1, f_2)$ se calcule en « comptant » des escaliers de gradient comme suit :

- front \implies fragments horizontaux,
- familles génératrices \implies fragments verticaux.

Exemple

Le nœud de trèfle legendrien standard de \mathbf{R}^3 admet au moins 5 familles génératrices non équivalentes (F).

Une stratégie de démonstration

La stratégie de démonstration est classique :

- **Étape 1. Compacité** : $\lim_{s \rightarrow 0} \mathcal{M}(q, p; g_s) \subset \mathcal{M}^{\text{esc}}(q, p)$.

Les trajectoires de $-\nabla^{g_s} \delta$ « convergent » vers des escaliers quand $s \rightarrow 0$.

↪ Utilisation du théorème d'Ascoli.

- **Étape 2. Recollement** : $\exists \mathcal{M}^{\text{esc}}(q, p) \xrightarrow{\sim} \mathcal{M}(q, p; g_s)$.

Tout escalier est obtenu de manière « unique » comme une limite quand $s \rightarrow 0$ de trajectoires de $-\nabla^{g_s} \delta$.

↪ Utilisation de la théorie de Fredholm.

Un résultat de compacité

Dans le contexte des escaliers, les **trajectoires brisées** de la théorie de Morse sont remplacées par la notion suivante :

Définition

Une *chaîne d'escaliers* est une concaténation d'un nombre fini d'escaliers consécutifs.

L'équivalent du théorème de **compactification** des espaces de modules en théorie de Morse est alors le suivant :

Théorème (F., en cours de rédaction)

Si les singularités du front de Λ sont cuspidales, alors génériquement une trajectoire de $-\nabla^{g_s}\delta$ de q à p « converge », à extraction près, vers une chaîne d'escaliers de q à p .

Une difficulté technique

Problème. La somme des longueurs des fragments verticaux est majoré par $\delta(q) - \delta(p)$, mais il n'existe pas de borne inférieure *a priori* sur leur longueur.

↪ les trajectoires de $-\nabla^{g_s} \delta$ peuvent dégénérer en des escaliers dont les fragments verticaux s'**accumulent**.

Observation clé. Si les fragments verticaux s'accumulent, alors il existe une infinité de fragments horizontaux **qui franchissent le lieu singulier** du front de Λ .

↪ C'est un phénomène **non générique** (adapter Ekholm, 2007).

Que faire après ce théorème de compacité ?

- S'affranchir de la restriction sur les singularités du front dans le théorème de compacité.
 - ↪ Utilisation d'un raisonnement par connexité.
- Démontrer le théorème de recollement.
 - ↪ Adapter la démonstration de Bourgeois-Oancea, 2009.
- Utiliser les escaliers de gradient pour obtenir de nouvelles applications des familles génératrices.

Je vous remercie de votre attention!